文章编号:1001-9081(2021)07-1933-06

DOI: 10. 11772/j. issn. 1001-9081. 2020081167

基于改进 CenterNet 的竹条表面缺陷检测方法

高钦泉1,2,3,黄炳城1,2,刘文哲3,童 同3*

(1. 福州大学 物理与信息工程学院,福州 350116; 2. 福建省医疗器械与医药技术重点实验室(福州大学),福州 350116;

3. 福建帝视信息科技有限公司,福州 350001)

(*通信作者电子邮箱ttraveltong@imperial-vision.com)

摘 要:在价条表面缺陷检测中,价条表面缺陷形状各异,成像环境脏乱,现有基于卷积神经网络(CNN)的目标检测模型面对这样特定的数据时并不能很好地发挥神经网络的优势;而且价条来源复杂且有其他条件限制,因此没办法采集所有类型的数据,导致价条表面缺陷数据量少到 CNN 不能充分学习。针对这些问题,提出一种专门针对价条表面缺陷的检测网络。该网络的基础框架为 CenterNet,而且为提高 CenterNet 在较少的价条表面缺陷数据中的检测性能,设计了一种基于从零开始训练的辅助检测模块:在网络开始训练时,冻结采用预训练模型的 CenterNet部分,并针对价条的缺陷特点从零开始训练辅助检测模块;待辅助检测模块损失趋于稳定时,通过一种注意力机制的连接方式将该模块与采用预训练的主干部分进行融合。将所提检测网络与 CenterNet 以及目前常用于工业检测的 YOLO v3 在相同训练测试集上进行训练和测试。实验结果表明,所提检测网络的平均精度均值(mAP)在价条表面缺陷检测数据集上比YOLO v3和 CenterNet的 mAP分别提高了16.45和9.96个百分点。所提方法能够针对形状各异的价条表面缺陷进行有效检测,且没有增加过多的时耗,在实际工业运用中具有很好的效果。

关键词:目标检测:缺陷检测:注意力机制:卷积神经网络:深度学习:CenterNet

中图分类号:TP391 文献标志码:A

Bamboo strip surface defect detection method based on improved CenterNet

GAO Qinquan^{1,2,3}, HUANG Bingcheng^{1,2}, LIU Wenzhe³, TONG Tong^{3*}

(1. College of Physics and Information Engineering, Fuzhou University, Fuzhou Fujian 350116, China;

Key Laboratory of Medical Instrumentation & Pharmaceutical Technology of Fujian Province (Fuzhou University), Fuzhou Fujian 350116, China;
 Imperial Vision Technology Company Limited, Fuzhou Fujian 350001, China)

Abstract: In bamboo strip surface defect detection, the bamboo strip defects have different shapes and messy imaging environment, and the existing target detection model based on Convolutional Neural Network (CNN) does not take advantage of the neural network when facing such specific data; moreover, the sources of bamboo strips are complicated and there exist other limited conditions, so that it is impossible to collect all types of data, resulting in a small amount of bamboo strip defect data that CNN cannot fully learn. To address these problems, a special detection network aiming at bamboo strip defects was proposed. The basic framework of the proposed network is CenterNet. In order to improve the detection performance of CenterNet in less bamboo strip defect data, an auxiliary detection module based on training from scratch was designed; when the network started training, the CenterNet part that uses the pre-training model was frozen, and the auxiliary detection module was trained from scratch according to the defect characteristics of the bamboo strips; when the loss of the auxiliary detection module stabilized, the module was intergrated with the pre-trained main part by a connection method of attention mechanism. The proposed detection network was trained and tested on the same training sets with CenterNet and YOLO v3 which is currently commonly used in industrial detection. Experimental results show that on the bamboo strip defect detection dataset, the mean Average Precision (mAP) of the proposed method is 16. 45 and 9. 96 percentage points higher than those of YOLO v3 and CenterNet, respectively. The proposed method can effectively detect the different shaped defects of bamboo strips without increasing too much time consumption, and has a good effect in actual industrial applications.

Key words: object detection; defect detection; attention mechanism; Convolutional Neural Network (CNN); deep learning; CenterNet

0 引言

目标检测一直是计算机视觉中的经典问题,包含图像分类和目标定位两个任务,在人脸识别、自动驾驶、工业检测等

领域有着广泛的应用。随着深度学习的发展,许多基于卷积神经网络(Convolutional Neural Network, CNN)的目标检测性能得到进一步的提升。目前基于CNN的目标检测主要分为两种:1)二阶段目标检测,利用候选区域生成阶段生成一组候

收稿日期:2020-08-05;修回日期:2020-12-02;录用日期:2020-12-04。

选目标检测框,然后利用 CNN 对候选区域的特征进行分类和位置 回归,典型代表为区域卷积神经网络(Region-Convolutional Neural Network, R-CNN)系列 $^{[1:3]}$;2)单阶段目标检测,它们取消了生成候选区域阶段,直接利用 CNN来预测边界框,典型代表为 SSD (Single Shot multibox Detector)系列 $^{[4:5]}$ 、YOLO(You Only Look Once)系列 $^{[6:8]}$ 。

本文所依托的骨干网络CenterNet^[9]将需要成对关键点的问题简化成中心关键点的估计问题,由于CenterNet只通过提取目标的中心点且不需要对中心点进行后处理,极大地加快了算法的整体速度。基于关键点的目标检测中,大大减少了计算量,降低了基于anchor-based 所导致的大量正负样本不均衡,减少了大量超参数设计。基于关键点的目标检测以其简洁、高效率的优点将一阶段目标检测推向另一高度。一般来说,二阶段检测器具有比单阶段检测器精度更高的优势,而单阶段检测器比二阶段检测器在时间和效率更具优势。

目前,国内已有一些针对竹条表面缺陷检测的研究。贺峰等^[10]提出了一种基于小波多尺度分解的方法实现竹条六种缺陷的检测。该方法首先通过图像共生矩阵的逆差矩差分值获得的最佳小波分解层对竹条纹理进行滤除,然后利用OTSU自动阈值检测算法完成缺陷检测。张殿甫等^[11]提出了一种基于机器视觉的竹条表面缺陷检测方法。该方法先将对竹条采集到的彩色图像转为灰度图,之后进行中值滤波去除噪声,平滑后将灰度图转为二值图像;然后用sobel算子提取竹条边缘;最后对竹条边缘进行分段处理,结合最小二乘法对每一段进行直线拟合,依据拟合之后直线的斜率大小来判断是否存在缺陷。

近年来,随着深度学习的快速发展,很多传统的工业问题利用深度学习的方法得到了更好的解决。面对传统工业问题,一般是将由 CNN 构成的目标检测网络框架首先使用分类任务数据集(如 ImageNet^[12])进行预训练,使其拥有强大的分类能力,然后利用迁移学习的方法将模型针对对应目标工业数据集进行调优细化,从而实现在工业问题上的检测。但是,采用将一般 CNN 构成的目标检测框架直接迁移应用到工业检测问题,一般存在以下几个影响:

- 1)直接采用迁移学习,可能导致模型泛化性能弱。目前现有基于 CNN 的目标检测网络框架主要针对的是一般场景的问题,如 COCO^[13]涵盖 80类物体,而工业场景数据与这些数据存在较大的差别,所以可能导致预训练模型的特征提取能力在工业场景数据上表现较差。
- 2)基于少数据的模型训练,可能导致检测性能较差。比如竹条来源复杂,没办法采集所有类型的数据,所以竹条表面缺陷数据量少,导致CNN不能充分地学习。
- 3)基于现实工业竹条表面缺陷检测应用中,其数据不适合用数据增广的方法来提高少量数据缺陷样本。比如采用旋转、翻转等操作,因为在工业应用中,数据的呈现形式是固定的,即不可能出现翻转、旋转后的那种数据形态,所以这些数据增广的方法对提高现实工业竹条表面缺陷检测应用中的性能表现影响不大。

基于以上问题,本文提出一种改进 CenterNet 的基于辅助 检测的 竹条 表面 缺陷 检测 方法,将基于关键点 检测的 CenterNet 作为骨干网络,并通过一种注意力机制的连接的方法与辅助学习检测网络结合。实验采用平均精度均值(mean Average Precision, mAP)来评估方法,在竹条表面缺陷检测数据集上使用相同的训练集和测试集,本文方法比YOLOv3的mAP提高了16.45个百分点,比CenterNet的mAP提高了9.06个百分点。

综上所述,本文的工作如下:1)使用基于深度学习的方法来进行竹条的缺陷检测。利用CNN的可学习性,能够同时检出竹黄、竹青、霉斑、虫洞等十种缺陷,减少了传统机器视觉所需的超参数,简化了检测过程,提高了检测效率。2)提出了一个针对竹条表面缺陷特点的辅助检测网络。该网络模型小,训练速度快,能够得到较精确的目标定位,辅助骨干网络,提高检测性能。3)使用一个注意力机制的连接方式将辅助检测网络和预训练的骨干网络结合,这一方法能更好地学习不同网络阶段产生的特征图,能够更合理地分配不同重要性程度的特征图的比重,让特征图利用得到最优化,减少冗余特征,提高特征处理速度,使目标检测性能得到优化。4)针对竹条表面缺陷特点,采用梯度均衡损失函数用于计算对位置坐标回归。相比LI损失函数的方法,梯度均衡损失函数在计算位置坐标时在LI损失函数的基础上加入了梯度密度的影响,能达到更好的回归效果。

1 网络方案设计

1.1 本文方法分析

本文模型由三个部分组成:骨干网络、辅助检测网络和注 意力机制连接。骨干网络采取经过(ImageNet)预训练的模型, 具备强大的特征提取能力;而辅助检测网络则采取针对竹条表 面缺陷数据从零训练。文献[14-15]中表明,当训练数据少时, 使用基于预训练的模型能够快速收敛以及得到较好的检测精 度;当训练数据足够时,使用预训练模型仅只能比从零开始训 练的模型更快地收敛,并不能带来精度的提升;而当模型从零 开始训练时,能够得到较精确的目标定位,但相比经过预训练 的模型则需要花费更多的时间。本文以CenterNet-dla34[9,16]为 基础网络,因为它具有高检测精度与高效率的特点。如图1(a) 所示,将骨干网络最后几层得到的特征图通过注意力机制连接 的方式分别与辅助检测网络所产生的特征图结合。为了能够 得到更精确的目标信息,在辅助检测网络中采用可变形卷积 (Deformable Convolution, DCN)[17] 替代了普通卷积,因为在可 变形卷积中,其卷积核能够根据目标形状的不同而做出相应的 改变,能够得到更为精确的竹条表面缺陷信息。

表1为竹条表面缺陷数据集的每一类缺陷类型的样本数,表2为缺陷的长宽比和面积比详情。可以看出,竹条表面缺陷的样本数存在较大的不均衡,如霉斑、裂边、内碳等具有较多的样本数,而虫洞、竹黄、刀疤等缺陷的样本数则较少。因为所采用的竹条表面缺陷数据极不均衡,所以本文采用Focal Loss^[18]结合梯度均衡损失函数(Gradient Harmonizing Mechanism Loss, GHM Loss)^[19]来减小由数据不平衡带来的影响,因为Focal Loss及GHM Loss均能有效解决数据中的样本不均衡现象。

表1 竹条表面缺陷数据详情

Tab. 1 Details of bamboo strip surface defects

缺陷	数量	缺陷	数量	缺陷	数量	缺陷	数量
黑节	4 1 1 5	虫洞	1 074	霉斑	12 942	竹黄	526
凹黄	6 2 2 4	裂边	11 990	竹青	3 643	刀疤	527
裂片	2 3 8 5	内碳	12 988				

1.1.1 骨干网络

本文以 CenterNet 为基础网络,在 CenterNet 选取 DLA-34 为骨干分类网络,如图 2 所示为本文所采取的 CenterNet-dla34 网络结构。其中 DLA (Deep Layer Aggregation) 为一个带有多 级跳跃连接的图像分类网络,由下采样模块、上采样特征融合 模块和特征结合传递输出等三个部分组成,该网络使用跳跃 连接(skip connection)的方式将低层卷积层的输出与当前层的卷积层输出通过可变形卷积的方式进行上采样。

表 2 竹条表面缺陷长宽比与面积比详情

Tab. 2 Details of aspect ratio and area ratio of bamboo strip surface defects

缺陷的长	: 宽比	缺陷的面积比			
数据区间	数量	数据区间	数量		
(0,2.6]	12 830	(0. 0. 025]	40 856		
(2.6, 5.2]	9 5 3 0	(0.025, 0.05]	6763		
(5.2, 7.8]	7 328	(0.05, 0.075]	2 663		
(7.8,10.4]	14 707	(0.075, 0.1]	1 310		
(10.4, 13.0]	3 114	(0.1, 0.125]	508		
(13.0, 15.6]	2511	(0.125, 0.15]	340		
(15.6, 18.2]	1 879	(0.15, 0.175]	382		
(18.2, 20.8]	1 573	(0.175, 0.2]	445		
(20.8, 23.4]	1510	(0.2, 0.225]	502		
(23.4,26.0]	1 432	(0.225, 0.25]	2 645		

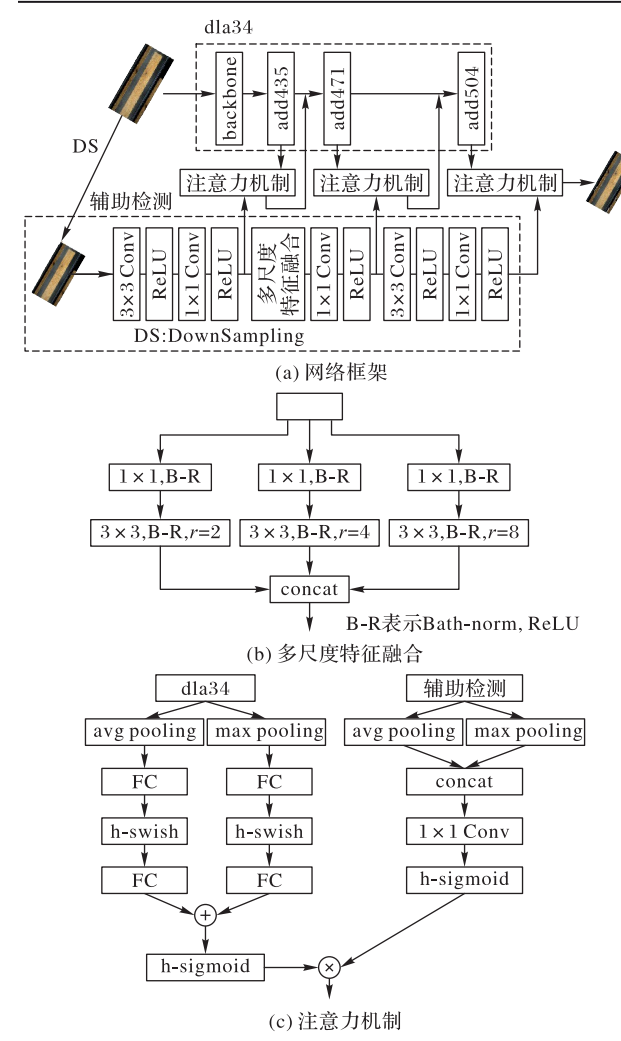


图 1 增强 CenterNet 网络框架

Fig. 1 Network framework of enhanced CenterNet

1.1.2 辅助学习检测网络

本文的辅助学习检测网络结构如图 1(a) 所示, 其中辅助 检测网络结构由三个部分组成:

1)降采样特征提取表示,由一个自适应降采样层和卷积层表示。首先输入竹条图像经过一个降采样处理,然后再经过两个连续的卷积层,每个卷积层后都接一个非线性激活函数 ReLU来增强网络的非线性表达能力。

2)多尺度特征融合,如图1(b)所示,由多个卷积组成,为 了得到多尺度的上下文信息,本文采用了空洞卷积[20]对其进 行处理。首先将降采样特征提取表示部分的输出作为多尺度 特征融合的输入,接着由三个卷积核大小为1×1的卷积拆分 成三个分支,然后采用三个卷积核大小为3×3且空洞卷积率r 分别为2、4、8的卷积进行提取特征,接着对提取得到不同感 受野的特征进行融合输出到下一模块。在本文方法中,使用 空洞卷积有如下几个优点:第一,在不降低图像分辨率且不增 加额外计算量的基础上,扩大感受野。经观察统计在竹条表 面缺陷中,存在着缺陷目标大小不一旦其长宽比等差距较大, 如表1所示,竹条表面缺陷的长宽比大部分落在(0,10.4)内, 且竹条表面缺陷的面积比大部分为(0,0.025)区间,说明本文 所采用的竹条数据集中竹条的大部分缺陷为细小且狭长的缺 陷。扩大感受野可以检测分割大缺陷目标,且可以精确定位 目标。第二,使用不同的空洞卷积率的卷积,可获得不同感受 野的特征,即可获得多尺度的缺陷特征。

3)使用卷积层对输出特征信息作进一步处理,使用多个 卷积对多尺度特征融合模块的输出信息进行处理,使得到的 图像特征更具有代表性。

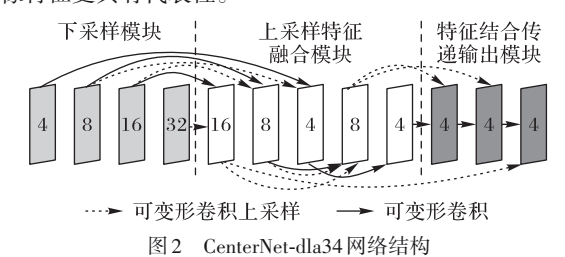


Fig. 2 CenterNet-dla34 network structure

1.1.3 注意力机制连接

注意力机制连接模块参考了 SENet (Squeeze-and-Excitation Networks) [21]与 CBAM (Convolution Block Attention Module) (22]。文献[23]中表明,h-swish(hard version of swish)和h-sigmoid激活函数能比ReLU和Sigmoid激活函数更有效地提高检测精度,h-swish和h-sigmoid激活函数的计算量相对较小且能有效避免模型在量化计算时的精度损失。受此启发,本文在CBAM的基础上分别将ReLU和Sigmoid换成h-swish和h-sigmoid,在CBAM中提到了通道注意力机制主要关注物体的类别信息,而空间注意力机制主要关注的是物体的定位信息,所以在本文中分别利用通道注意力机制和空间注意力机制用于连接骨干分类网络和辅助检测网络,然后将两者的特征进行融合。注意力机制连接模块可以通过学习的方式获得两个网络的特征重要性程度,优化提取的图像特征,避免了大量冗余特征,以获得更好的特征表达,提高网络的计算速度。

1.2 损失函数

Focal Loss 能够解决检测任务中由于大量难易样本数量不平衡的问题,因此被广泛采用,本文也采用 Focal Loss 来计算中心点的损失。假设输入图像 $I \in \mathbf{R}^{W \times H \times 3}$,其中 W 和 H 表示输入图像的宽和高。在预测时,要产生出关键点的热力图 (keypoint heatmap): $\hat{Y} \in [0,1]^{\frac{W}{R} \times \frac{H}{R} \times C}$,其中: R 为输出对应原图的步长,文本中取 R=4; C 是在竹条表面缺陷检测中对应检测点的数量,本文中取 C=10,表示有 10个缺陷类别。

$$L_{k} = \frac{1}{N} \begin{cases} \sum_{xyc} \left(1 - \hat{Y}_{xyc}\right)^{\alpha} \log\left(\hat{Y}_{xyc}\right), & Y_{xyc} = 1\\ \sum_{xyc} \left(1 - Y_{xyc}\right)^{\beta} \left(\hat{Y}_{xyc}\right)^{\alpha} \log\left(1 - \hat{Y}_{xyc}\right), & \text{其他} \end{cases}$$
(1)

其中: α 和 β 为 Focal Loss 的超参数,本文中 α 和 β 分别为2和4;N为图像I的关键点数量。假设p为图像I的中心点,且 \tilde{p} 为p/R的向下取整,用一个高斯核为:

$$Y_{xyc} = \exp\left(-\frac{\left(x - \tilde{p}_x\right)^2 + \left(y - \tilde{p}_y\right)^2}{2\delta_n^2}\right) \tag{2}$$

将关键点分布到特征图上,其中 δ_p^2 为一个与目标大小相关的标准差。由于对图像进行下采样(下采样因子R=4),这样得到的特征图再映射到原始图像上会产生精度误差,所以针对每个中心点增加一个偏置值,并采用L1 Loss 去训练。

$$L_{\text{off}} = \frac{1}{N} \sum_{\sigma} \left| \hat{O}_{\tilde{p}} - \left(\frac{p}{R} - \tilde{p} \right) \right| \tag{3}$$

其中 $\hat{\mathbf{O}} \in \mathbf{R}^{\frac{W}{R} \times \frac{H}{R} \times 2}$ 为一个偏置值。假设 $\left(x_1^{(k)}, y_1^{(k)}, x_2^{(k)}, y_2^{(k)}\right)$ 为 目 标 k,类 别 为 c 的 点 ,其 中 心 点 为 $p_k = \left(\frac{x_1^{(k)} + x_2^{(k)}}{2}, \frac{y_1^{(k)} + y_2^{(k)}}{2}\right)$,使用关键点预测去预测所有的中心点,然后对每个目标k的大小进行回归,回归后得到预测中心点为: $s_k = \left(\frac{x_1^{(k)^*} + x_2^{(k)^*}}{2}, \frac{y_1^{(k)^*} + y_2^{(k)^*}}{2}\right)$,并利用 GHM Loss来训练 $L_{\text{size}} = \frac{1}{N} \sum_{k=1}^{\infty} \frac{\left(\sqrt{d_i^2 + \mu^2} - \mu\right)}{GD(gr_i)}$,其中 $d = s_k - p_k$, $gr = \left|\frac{d}{\sqrt{J^2 + \mu^2}}\right|$,取 μ 为 0. 02,整个物体的损失函数为:

$$L = L_k + \lambda_{\text{off}} L_{\text{off}} + \lambda_{\text{size}} L_{\text{size}}$$
本文参考 CenterNet 参数设置取: $\lambda_{\text{off}} = 1, \lambda_{\text{size}} = 0.1_{\circ}$

2 实验与分析

2.1 实验数据准备和实验设置

本文使用的竹条表面缺陷数据集包含竹青、竹黄、黑节、裂片、裂边、内碳、霉斑、刀疤、虫洞、凹黄等十种竹条表面缺陷,如图3所示。本文采用的竹条表面缺陷数据图片共37040张,对其中36747张图片采用LabelImg进行标注,而且在标注图片中随机选取28747张图进行训练,并按照8:2的比例随机选取22997张图为训练集,5750张图片为验证集,剩下的8000张标注缺陷数据图与293张未标注无缺陷图组成为测试集,即测试集图片共8293张。

本文使用了相同的设置来初始化和训练模型,采用CenterNet-dla34 为本文的骨干网络,该骨干网络首先在ImageNet数据集上预训练,在实验中,使用512×512的大小输入到骨干网络,批量大小(batch size)设置为8,学习率设定为0.000125,在网络训练过程中首先冻结带有预训练的骨干网络,只训练本文提出的辅助学习检测网络,待辅助学习检测网络损失趋于稳定时,放开冻结,两者结合一起训练。共训练140 epoch,且当在训练到90和120 epoch的时候,学习率分别下降到当前值的1/10,在训练期间,所有实验均使用Adam 进行优化,并使用期默认的参数 $\beta_1=0.9,\beta_2=0.999$ 。本文检测采用的实验环境为pytorch框架,在Ubuntu16.04系统下运行,实验均在NVIDIA GTX2070 GPU上进行训练和测试。

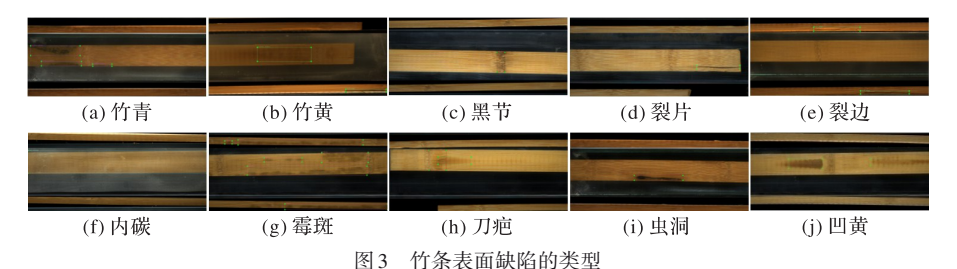


Fig. 3 Types of bamboo strip defects

2.2 实验结果与分析

2.2.1 在竹条表面缺陷检测数据集上的结果

1)数据均衡与数据增广在竹条数据上的表现。

使用竹条表面缺陷数据集来验证本文方法的效果,并称 利用本文方法改进后的模型为增强CenterNet。表3展示了增 强 CenterNet 与 YOLOv3、CenterNet 以及针对本文竹条数据采 用数据均衡的方法等在相同数据集、相同测试环境下的mAP 结果对比。其中CenterNet+均衡数据是指:将竹条数据中的 少量缺陷样本如竹黄、刀疤、虫洞等数据通过平移、旋转、翻转 等方法将其增广到与霉斑、裂边、内碳等均衡的数据量并采用 CenterNet 进行学习检测: CenterNet+数据增广则是针对竹条 表面缺陷数据中的所有数据进行数据增广到更大的数据量, 采用CenterNet进行学习检测。由表3可以看出,采用数据均 衡与数据增广的方法在竹条表面缺陷检测上得到的 mAP分 别为 67.47% 和 68.65%, 这与原 CenterNet 方法得到的 66.94%的mAP值相差不大,因为在竹条表面缺陷中,其缺陷 特征具有固定的表现形式,与其经过翻转、旋转等得到的数据 形式具有一定的差别,而本文采用针对竹条的缺陷特点通过 辅助学习检测网络与骨干网络的结合,使各类缺陷的检测效 果都有较大的提升。

2)增强CenterNet在竹条数据上的表现。

由表2可以看出,本文使用的竹条表面缺陷数据集的缺陷长宽比、缺陷面积比、缺陷类别样本数存在较大的不均衡,竹条的缺陷长宽比大部分落在(0,10.4),且竹条的缺陷面积比大部分为(0,0.025),说明本文使用的竹条表面缺陷数据集形状大部分为细小且狭长。由图4检测结果可以看出,在针对狭长的竹黄、内碳、裂边等缺陷的时候,增强CenterNet能够比YOLOv3和CenterNet进行更有效、更精准的检测。

2.2.2 验证本文模块的有效性

1)基础网络与本文方法的比较。

为了验证本文方法的有效性,针对辅助检测网络、多尺度融合模块、注意力机制连接等做了如下实验。在实验过程中,采用相同的设置来初始化和训练模型。如表4所示,在竹条表面缺陷数据集上用基础网络CenterNet得到了66.94%的mAP;在CenterNet的基础上引入辅助学习检测网络,mAP提高了5.36个百分点;将骨干网络和辅助学习检测网络进行直接结合时,虽然辅助学习检测网络能帮助模型较精确地定位缺陷位置,但因为缺乏合理的特征融合方法,在模型学习得到

的特征中存在大量冗余特征,所以引入了注意力机制的连接方法,这使模型的mAP提升了1.9个百分点。由表1中可知,在竹条表面缺陷数据集中,缺陷的有效样本分布极不均匀,针对辅助学习检测网络中的竹条表面缺陷特点,引入了GHM

Loss,利用特征梯度分布的方法来引导缺陷定位,使本文方法在竹条表面缺陷数据集上获得了76.9%的mAP。如图5所示为基于CenterNet上改进方法的损失函数收敛曲线,可看出本文方法在改进CenterNet上能够有更优的表现。

表3 本文方法与其他方法的AP与mAP比较

Tab. 3 Comparison of AP and mAP between the proposed method and other methods

}. »+	竹条表面缺陷的 AP/%								A D/c/		
方法	凹黄	黑节	虫洞	裂边	内碳	裂片	竹青	霉斑	竹黄	刀疤	mAP/%
YOLOv3	85. 71	74. 44	68. 77	63. 37	60. 39	56. 64	55. 38	49. 42	45. 55	44. 86	60. 45
CenterNet	89. 18	79. 15	73. 23	69. 95	80. 35	58. 12	64. 89	52.91	52. 21	49. 41	66. 94
CenterNet+均衡数据	89. 17	77. 24	75.46	68.46	79. 59	59.39	63.42	51.79	57.31	52.82	67. 47
CenterNet+数据增广	92. 31	80. 23	74. 93	70. 15	81.47	59.88	65.32	52.41	57. 55	52. 28	68. 65
增强 CenterNet	92. 58	88.72	84. 32	81. 20	90.05	70.49	68. 87	65.05	70. 98	56.65	76. 90

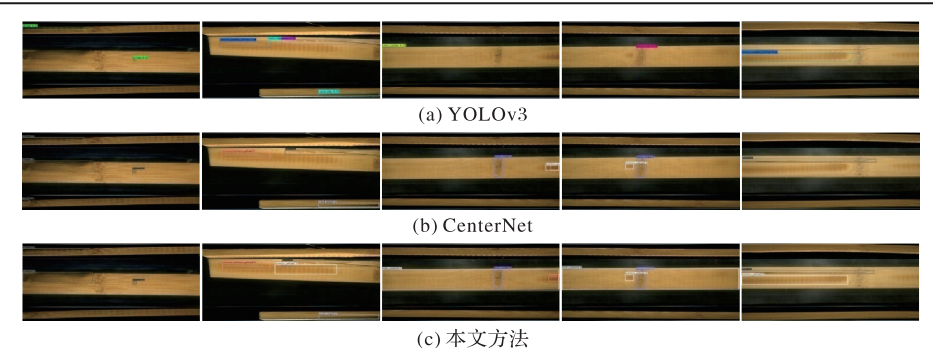


图 4 本文方法与其他方法检测效果比较

Fig. 4 Comparison of detection effect of the proposed method and other methods

表 4 基础网络添加不同模块的 mAP 结果

Tab. 4 mAP results of adding different modules to base network

方法	mAP/%
CenterNet	66. 94
CenterNet+辅助检测网络	72. 30
CenterNet+辅助检测网络+注意力机制	74. 20
CenterNet+辅助检测网络+注意力机制+GHM Loss	76. 90

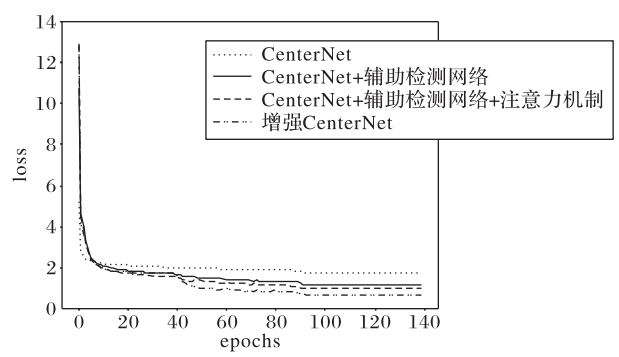


图 5 基础网络添加不同模块的损失曲线

Fig. 5 Loss cuves of adding different modules to base network

2)不同注意力机制的连接表示。

在表5中,针对注意力机制连接方法采取了五种不同的方法,其中CT表示通道注意力,CT表示在通道注意力中采用h-swish和h-sigmoid激活函数,SPT表示空间注意力,CBAM*表示在CBAM方法的基础上将激活函数更改为h-swish和h-sigmoid。采用通道注意力机制的方式作为连接骨干网络与辅助学习检测网络的方法能够比骨干网络和辅助学习检测网络直接结合情况的mAP提高0.5个百分点,说明引入注意力机制的方式能在一定程度上提高模型的学习能力,但仍需更

有效的方式。当在通道注意力中的 ReLU 和 sigmoid 激活函数 替换为 h-swish 和 h-sigmoid 时,获得了73.7%的 mAP,说明在针对竹条表面缺陷形状中引入使用分段线性激活函数的通道注意力机制连接的方法能让模型更加准确地关注缺陷特征的学习,有效地提高了检测的精度。但在使用空间注意力机制进行连接时,检测精度比不使用注意力机制连接的 mAP还下降了0.7个百分点。在使用 CBAM 作为骨干网络与辅助学习检测网络的连接方式时,其检测精度比不采用注意力机制连接的 mAP提高了1.9个百分点,且当将 CBAM 的激活函数替换成 h-swish 和 h-sigmoid 时,其检测获得了最好的效果。

表5 不同注意力机制连接的mAP结果

Tab. 5 mAP results of integrating with different attention mechanisms

方法	mAP/%
CenterNet+辅助检测网络	72. 3
CenterNet+辅助检测网络+CT	72. 8
CenterNet+辅助检测网络+CT+	73. 7
CenterNet+辅助检测网络+SPT	71.6
CenterNet+辅助检测网络+CBAM	74. 2
CenterNet+辅助检测网络+CBAM+	76. 9

3)不同空洞卷积率的表示。

尝试三种不同空洞卷积率的空洞卷积进行辅助检测网络中缺陷特征的提取,结果如表6所示。在不采取空洞卷积进行特征提取时,mAP为69.9%;当采用三个分支分别为2、4、8的空洞卷积率进行结合时,获得的mAP为76.9%,模型性能有了一个较好的提升,说明在竹条表面缺陷数据集中采用空洞卷积,通过增大感受野对模型获取上下文的多尺度缺陷特征具有重大意义。

表6 不同空洞卷积率的mAP结果

Tab. 6 mAP results of different dilation rates

r=2	r=4	r=8	mAP/%
			69. 9
\checkmark			73.5
\checkmark	\checkmark		73.4
\checkmark	√	√	76. 9

3 结语

本文针对竹条表面缺陷特点利用深度学习的方法来进行竹条表面缺陷检测,能够在较少缺陷数据的情况下获得较好的检测结果。且针对目前现有网络模型的单一训练模式,本文提出一种结合预训练网络迁移学习和从零训练的辅助学习检测网络混合训练的方法,能够有效地提高在仅拥有较少量竹条表面缺陷数据情况下的检测性能。在本文所提取的骨干分类网络特征层上具有尺度单一性,下一步研究工作将探寻提取特征更丰富的、结构更小、效率更高的模型,以便能得到更好的检测效果。

参考文献 (References)

- [1] GIRSHICK R, DONAHUE J, DARRELL T, et al. Rich feature hierarchies for accurate object detection and semantic segmentation [C]// Proceedings of the 2014 IEEE Conference on Computer Vision and Pattern Recognition. Piscataway: IEEE, 2014: 580-587.
- [2] GIRSHICK R. Fast R-CNN [C]// Proceedings of the 2015 IEEE International Conference on Computer Vision. Piscataway: IEEE, 2015: 1440-1448.
- [3] REN S, HE K, GIRSHICK R, et al. Faster R-CNN: towards realtime object detection with region proposal networks [C]// Proceedings of the 28th International Conference on Neural Information Processing Systems. Cambridge: MIT Press, 2015: 91-99.
- [4] LIU W, ANGUELOV D, ERHAN D, et al. SSD: single shot multibox detector [C]// Proceedings of the 2016 European Conference on Computer Vision, LNCS 9905. Cham: Springer, 2016; 21-37.
- [5] FU C Y, LIU W, RANGA A, et al. DSSD; deconvolutional single shot detector [EB/OL]. [2020-08-03]. https://arxiv.org/pdf/ 1701.06659.pdf.
- [6] REDMON J, DIVVALA S, GIRSHICK R, et al. You only look once: unified, real-time object detection [C]// Proceedings of the 2016 IEEE Conference on Computer Vision and Pattern Recognition. Piscataway: IEEE, 2016; 779-788.
- [7] REDMON J, FARHADI A. YOLO9000: better, faster, stronger [C]// Proceedings of the 2017 IEEE Conference on Computer Vision and Pattern Recognition. Piscataway: IEEE, 2017: 7263-7271.
- [8] REDMON J, FARHADI A. YOLOv3: an incremental improvement [EB/OL]. [2020-08-03]. https://arxiv.org/pdf/1804.02767. pdf.
- ZHOU X, WANG D, KRÄHENBÜHL P. Objects as points [EB/OL]. [2020-08-03]. https://arxiv.org/pdf/1904.07850.pdf.
- [10] 贺峰,秦现生,刘琼,等. 基于小波多尺度分解的竹条表面缺陷检测算法[J]. 机电一体化,2010,16(1):46-49.(HEF,QINXS,LIUQ,et al. Bamboo defect inspection algorithm based on wavelet multi-scale transform[J]. Mechatronics, 2010,16(1):46-49.)
- [11] 滁州市天达汽车部件有限公司. 一种基于机器视觉的竹条表面缺陷检测方法:中国,201710416704.0[P]. 2017-10-17. (Chuzhou Tianda Auto Parts Company Limietd. A bamboo strip defect detection method based on machine vision: China, 201710416704.0[P]. 2017-10-17.)

- [12] DENG J, DONG W, SOCHER R, et al. ImageNet: a large-scale hierarchical image database [C]// Proceedings of the 2009 IEEE Conference on Computer Vision and Pattern Recognition. Piscataway: IEEE, 2009: 248-255.
- [13] LIN T Y, MAIRE M, BELONGIE S, et al. Microsoft COCO: common objects in context[C]// Proceedings of the 2014 European Conference on Computer Vision. LNCS 8693. Cham: Springer, 2014: 740-755.
- [14] HE K, GIRSHICK R, DOLLÁR P. Rethinking ImageNet pretraining [C]// Proceedings of the 2019 IEEE/CVF International Conference on Computer Vision. Piscataway: IEEE, 2019: 4917-4926
- [15] ZHU R, ZHANG S, WANG X, et al. ScratchDet: training single-shot object detectors from scratch [C]// Proceedings of the 2019 IEEE/CVF Conference on Computer Vision and Pattern Recognition. Piscataway: IEEE, 2019: 2263-2272.
- [16] YU F, WANG D, SHELHAMER E, et al. Deep layer aggregation [C]// Proceedings of the 2018 IEEE/CVF Conference on Computer Vision and Pattern Recognition. Piscataway: IEEE, 2018: 2403-2412.
- [17] ZHU X, HU H, LIN S, et al. Deformable ConvNets V2: more deformable, better results [C]// Proceedings of the 2019 IEEE/ CVF Conference on Computer Vision and Pattern Recognition. Piscataway: IEEE, 2019: 9300-9308.
- [18] LIN T Y, GOYAL P, GIRSHICK R, et al. Focal loss for dense object detection [C]// Proceedings of the 2017 IEEE International Conference on Computer Vision. Piscataway: IEEE, 2017: 2999-3007.
- [19] LI B, LIU Y, WANG X. Gradient harmonized single-stage detector [C]// Proceedings of the 33rd AAAI Conference on Artificial Intelligence. Palo Alto, CA: AAAI Press, 2019: 8577-8584
- [20] YU F, KOLTUN V. Multi-scale context aggregation by dilated convolutions [EB/OL]. [2020-09-22]. https://arxiv. org/pdf/ 1511.07122.pdf.
- [21] HU J, SHEN L, SUN G. Squeeze-and-excitation networks [C]// Proceedings of the 2018 IEEE/CVF Conference on Computer Vision and Pattern Recognition. Piscataway: IEEE, 2018: 7132-7141
- [22] WOO S, PARK J, LEE J Y, et al. CBAM: convolutional block attention module [C]// Proceedings of the 2018 European Conference on Computer Vision. LNCS 11211. Cham: Springer, 2018: 3-19.
- [23] HOWARD A, SANDLER M, CHEN B, et al. Searching for MobileNetV3 [C]// Proceedings of the 2019 IEEE/CVF International Conference on Computer Vision. Piscataway: IEEE, 2019: 1314-1324.
- [24] KINGMA D P, BA J L. Adam: a method for stochastic optimization [EB/OL]. [2020-09-22]. https://arxiv. org/pdf/ 1412.6980.pdf.

GAO Qinquan, born in 1986, Ph. D., associate research fellow. His research interests include artificial intelligence, computer vision, medical image processing and analysis, computer-aided surgical guidance.

HUANG Bingcheng, born in 1993, M. S. candidate. His research interests include artificial intelligence, computer vision.

LIU Wenzhe, born in 1993, M. S. His research interests include artificial intelligence, computer vision.

TONG Tong, born in 1986, Ph. D., research fellow. His research interests include artificial intelligence, computer vision, medical image processing and analysis.